

© 1983 ISIJ

# ZrO<sub>2</sub>-CaO,-MgO,-Y<sub>2</sub>O<sub>3</sub> 固体電解質と液体 PbO-SiO<sub>2</sub> 系の絶対熱電能

論文

右京良雄\*・後藤和弘\*\*

## Absolute Thermoelectric Power of ZrO<sub>2</sub>-CaO,-MgO,-Y<sub>2</sub>O<sub>3</sub> Solid Electrolytes and Liquid PbO-SiO<sub>2</sub> System

Yoshio UKYO and Kazuhiro S. GOTO

## Synopsis :

Thermoelectric powers of zirconia base solid electrolytes and liquid PbO-SiO<sub>2</sub> system have been measured in air in the temperature range from 700° to 1600°C. Electrode at higher temperature side was the negative pole for zirconia electrolytes (oxygen anion conductor), whereas electrode at lower temperature side was the positive pole for molten PbO-SiO<sub>2</sub> system (lead cation conductor).

The absolute thermoelectric powers of the oxide systems have been calculated by subtracting the EMF of the virtual cell reaction and thermoelectric power of platinum electrode from the measured total electromotive forces.

Those are in range of -0.37 to -0.51 mV/K for the solid Electrolytes and of 0.06 to 0.013 mV/K for the liquid silicate. Physical meanings of these values are discussed.

### 1. 緒 言

ある物質に温度差が与えられると、熱拡散現象 (Soret 効果)、熱電現象 (Seebeck 効果) という 2 種類の現象が現れる。前者の Soret 効果は、物質内における成分の流れと温度差によって生ずる熱の流れとの間に発生するカップリング現象の結果生ずるものであり、後者の Seebeck 効果は、電荷を有するある成分の流れと、熱の流れのカップリング現象の結果生ずるものである。また等温においても、鉄鋼製錬におけるスラグのような多成分系イオン液体の場合、ある特定の成分の流れが他の成分の流れを引き起こすという個々の成分の流れの間に発生するカップリング現象もある。この現象は実際には、up-hill diffusion として測定される。

著者らは、鉄鋼製錬において重要な溶融スラグや溶融鉄合金についてこれら 3 種類のカップリング現象のうち up-hill diffusion 及び Soret 効果の測定を行い、非平衡の熱力学による取り扱いを行い、いくつかの報告をした<sup>1)~4)</sup>。本報告では、これら 3 種類のカップリング現象のうち大きなイオン電導性を有する物質の熱電現象について報告する。

本研究では白金電極を用いて、酸化ジルコニウム基

体電解質 (ZrO<sub>2</sub>-CaO,-MgO,-Y<sub>2</sub>O<sub>3</sub>) 及び液体 PbO-SiO<sub>2</sub> の熱起電力を 700°C~1500°C の広い温度範囲で測定を行い、熱の流れと電荷移動のカップリング効果の大きさを明らかにすることが目的である。試料として、ZrO<sub>2</sub> 基固体電解質、液体 PbO-SiO<sub>2</sub> を選んだのは、白金との界面反応が明らかにされていること<sup>6)7)</sup>、電導機構が明確であり、ZrO<sub>2</sub> 基固体電解質は陰イオン (酸素イオン)<sup>6)</sup>、液体 PbO-SiO<sub>2</sub> では、陽イオン (Pb<sup>2+</sup> イオン) の輸率が 1 であるという 2 つの理由による。

### 2. 絶対熱電能の測定原理<sup>8)~11)</sup>

Fig. 1 は、熱電能を測定するための模式図である。測定される全熱電能  $\varphi_{tot}$  は、

$$\varphi_{tot} = \varphi_S + \varphi_{rea} + \varphi_M \quad \dots \dots \dots \quad (1)$$

で表される。ここで、 $\varphi_S$ 、 $\varphi_M$  はそれぞれ、試料、導線 (電極) の、 $\varphi_{rea}$  は界面反応の熱電能である。均一な單一相からなる物質の熱電能  $\varphi$  は非平衡の熱力学により、次のように書き表される<sup>8)</sup>。

$$\varphi = - \sum_{i=1}^n \frac{t_i}{Z_i} \frac{Q_i}{F T} \quad \dots \dots \dots \quad (2)$$

<sup>†</sup> 热電能は、測定される熱起電力をその温度差で除した値として定義される。

昭和 57 年 2 月 5 日受付 (Received Feb. 5, 1982)

\* 東京工業大学大学院 (Graduate School, Tokyo Institute of Technology)

\*\* 東京工業大学工学部 Ph.D. 工博 (Faculty of Engineering, Tokyo Institute of Technology, 2-12-1 Ookayama Meguro-ku 152)

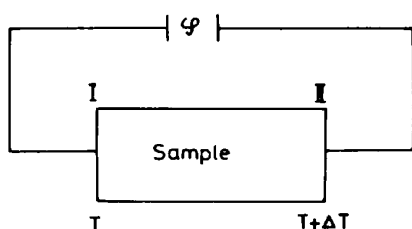


Fig. 1. Schematic diagram for thermoelectric power measurements.

ここで、 $t_i$ ,  $Z_i$ ,  $Q_i$  はそれぞれ  $i$  成分の輸率、電荷及び輸送熱、 $F$  は Faraday 定数である。輸送熱は、 $i$  成分の単位量の流れが生じた時に、それに伴つて運ばれる熱量として定義され、熱の流れと成分  $i$  の流れのカッピング効果の大きさを示すパラメータである。反応による熱電能  $\varphi_{\text{rea}}$  は、界面での反応が異なる温度で起こるために生ずる。界面における反応を次のように書き表す。



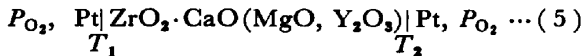
$$\nu_{m+1} a_{m+1} + \nu_{m+2} a_{m+2} + \dots + \nu_r a_r \dots \dots \dots (3)$$

ここで、添字 1~m は、電極、m+1~r は、試料内を意味する。この時、 $\varphi_{\text{rea}}$  は次のように書かれる。

$$\varphi_{\text{rea}} = \frac{1}{\sum_{i=1}^m F \nu_i Z_i} \left( \frac{\partial A}{\partial T} \right) \dots \dots \dots (4)$$

A は、(3)式の反応の親和力である。

今次のような電池の場合を考える。



この時測定される全熱電能は、(2) (4) 式より次のように表される<sup>4)</sup>。

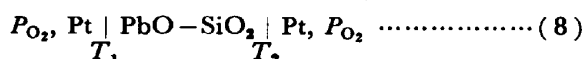
$$\begin{aligned} \varphi_{\text{tot}} = & -\frac{1}{4F} S_{O_2} + \frac{1}{2F} \left( S_{O^{2-}} + \frac{Q_{O^{2-}}}{T} \right) \\ & - \frac{1}{F} \left( S_e + \frac{Q_e}{T} \right) \dots \dots \dots (6) \end{aligned}$$

ここで、 $S_{O_2}$ ,  $S_{O^{2-}}$ ,  $S_e$  はそれぞれ気相中の酸素ガス、 $ZrO_2$  基固体電解質内の  $O^{2-}$  イオン、白金中の電子の部分モルエントロビ、 $Q_{O^{2-}}$ ,  $Q_e$  は  $ZrO_2$  基固体電解質内の  $O^{2-}$  イオン、白金中の電子の輸送熱である。また(6)式を求める際に次のような条件を用いた<sup>5)</sup>。

- (a)  $O^{2-}$  イオンの輸率が 1 である。
- (b)  $ZrO_2$ ,  $CaO(MgO, Y_2O_3)$  の濃度勾配は存在しない。
- (c) 電極反応は次のとおりである。



つぎに次のような電池の場合を考えてみる。



この時、測定される全熱電能  $\varphi_{\text{tot}}$  は、(2) (4) 式よ

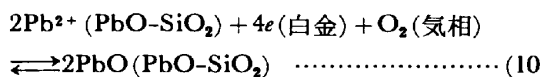
り次のように表される<sup>4)</sup>。

$$\begin{aligned} \varphi_{\text{tot}} = & -\frac{1}{4F} S_{O_2} + \frac{1}{2F} S_{PbO} - \frac{1}{2F} \left( S_{Pb^{2+}} + \frac{Q_{Pb^{2+}}}{T} \right) \\ & - \frac{1}{F} \left( S_e + \frac{Q_e}{T} \right) \dots \dots \dots (9) \end{aligned}$$

ここで、 $S_{PbO}$ ,  $S_{Pb^{2+}}$  はそれぞれ液体  $PbO-SiO_2$  中の  $PbO$ ,  $Pb^{2+}$  イオンの部分モルエントロビ、 $Q_{Pb^{2+}}$  は、液体  $PbO-SiO_2$  中の  $Pb^{2+}$  イオンの輸送熱である。

(9)式を求めるために次のような条件を用いた。

- (a)  $Pb^{2+}$  イオンの輸率が 1 である。
- (b) 濃度勾配は存在しない。
- (c) 電極反応は次のとおりである。



また、いずれの場合も両極の酸素分圧は等しいものとした。

### 3. 全熱起電力の測定法

$ZrO_2$  基固体電解質の熱電能の測定装置は、以前に Goto, Ito, and Someno<sup>2)</sup> によつて用いられた装置と同じであるが、本研究では、1600°C まで昇温可能なよう設計されている。電極には白金を用い、これに白金 13% ロジウム線を溶接し、測温用の熱電対とした。温度差は、電気炉に発生する温度勾配により与えたが、その際両電極の温度差がほぼ 50°C になるように調節した。また両電極間の距離は約 5 cm とした。用いた電解質は、日本化学陶業社製の  $ZrO_2$ -11 mol%  $CaO$ ,  $ZrO_2$ -9 mol%  $MgO$ ,  $ZrO_2$ -8 mol%  $Y_2O_3$  である。測定はすべて大気中で行つた。

液体  $PbO-SiO_2$  の熱電能の測定に用いた装置は、著者らが前報で液体  $CaO-SiO_2-Al_2O_3$  スラグの熱電能を測定した装置と同じものである<sup>3)</sup>。すなわち、容器は、幅 20 mm, 高さ 13 mm, 長さ 80 mm の大きさの高純度アルミナ製のボードで、その両端に温度勾配下において試料内に熱拡散による濃度勾配が生じないようにするために、電極の近くにアルミナの板を設置した。また電極は直径 1 mm の白金棒を用い、これに直径 0.5 mm の白金-13% ロジウム線を溶接して、電極自身が熱電対になるようにした。両方の電極は上下可能のように設置されている。なお熱起電力の測定は熱拡散の生じない 1 ~ 3 h 以内に行い、均一組成のスラグとしてその後の解析を行つた。

試料の調製は次のようにして行つた。 $PbO$ ,  $SiO_2$  は、市販されている特級試薬を十分乾燥したものを用い、これらの粉末を所定の組成に配合した後、よく混合し、高

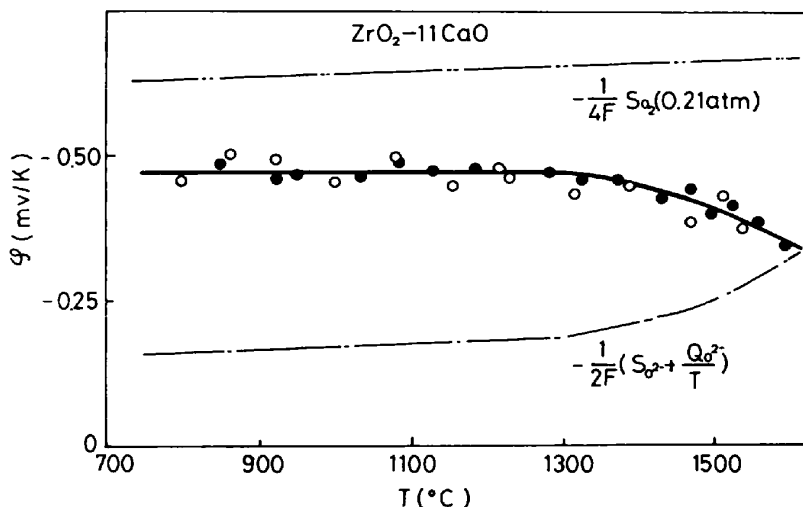


Fig. 2. Relation between thermoelectric power of  $ZrO_2-11CaO$  and temperature. Black circle and white circle are independent measured.

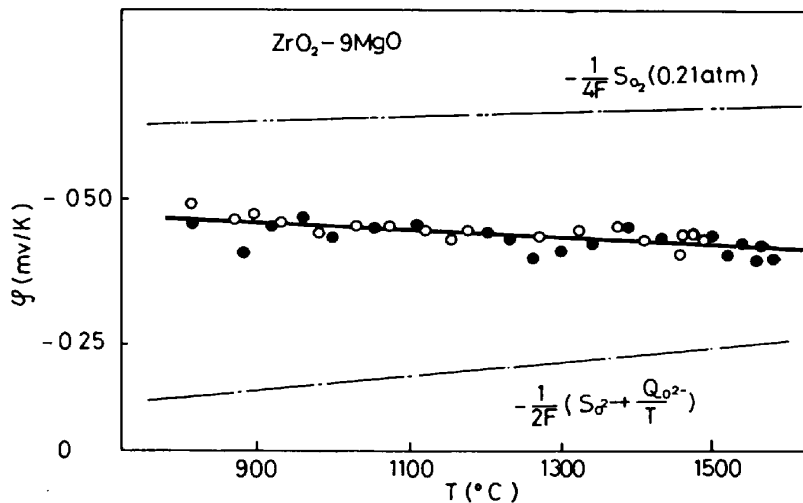


Fig. 3. Relation between thermoelectric power of  $ZrO_2-9MgO$  and temperature. Black circle and white circle are independent measured.

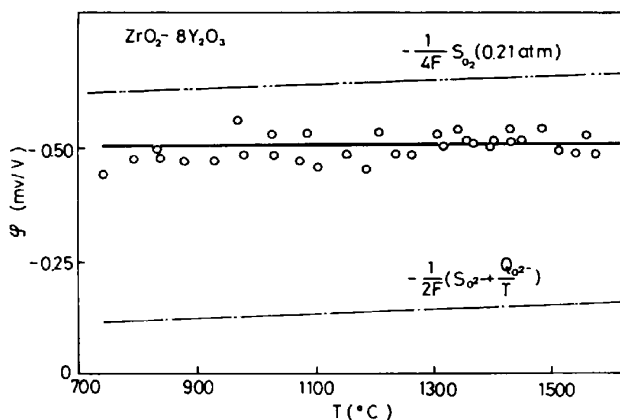


Fig. 4. Relation between thermoelectric power of  $ZrO_2-8Y_2O_3$  and temperature.

純度アルミニナるつぼを用いて  $1100^\circ\text{C}$  で溶解した。溶解後水冷銅板上に铸込んでガラス状の試料を得た。測定は次のようにして行つた。まず、ガラス状の試料の入ったポートをその融点以下に保持されている電気炉に装入する。次にこのポートの直上に 2 本の電極を設置する。

その後徐々に電気炉の温度を上げていき、試料が完全に溶解するのを確認した後、温度が安定するのをまつて電極を挿入する。両電極間の電位差は、内部抵抗  $1\text{ M}\Omega$  のレコーダーに記録し、一定値になつた時、ポテンショメーターを用いて測定した。両電極間の温度差は、炉の温度勾配を利用した。また温度差は  $100^\circ\text{C}$  以内、電極間距離は約 5 cm とした。

## 4. 実験結果

### 4.1 $ZrO_2$ 基固体電解質の全熱電能

$ZrO_2-11CaO$ ,  $ZrO_2-9MgO$ ,  $ZrO_2-8Y_2O_3$  の全熱電能を Fig. 2~4 に実線で示す。 $ZrO_2-11CaO$  では Fig. 2 に示すように  $1300^\circ\text{C}$  までは全熱電能は  $-0.47\text{ mV}/\text{K}$  (高温側を正とする) で一定であるが、 $1300^\circ\text{C}$  以上の高温では徐々に減少し、 $1560^\circ\text{C}$  では  $-0.37\text{ mV}/\text{K}$  まで減少した。 $ZrO_2-9MgO$  では Fig. 3 に見られるように全熱電能は温度の上昇とともにほぼ直線的に減少

し、800°Cにおいて $-0.46\text{ mV/K}$ から1560°Cにおいて $-0.42\text{ mV/K}$ へと減少する。 $\text{ZrO}_2\text{-8Y}_2\text{O}_3$ ではFig. 4に見られるように全熱電能は温度によらずほぼ一定で $-0.51\text{ mV/K}$ である。他者によつて測定された白金極を用いた $\text{ZrO}_2$ 基固体電解質の全熱電能の値はいずれも $-0.3\sim0.5\text{ mV/K}$ の範囲にある<sup>14)~21)</sup>。

#### 4・2 液体 $\text{PbO-SiO}_2$ の全熱電能

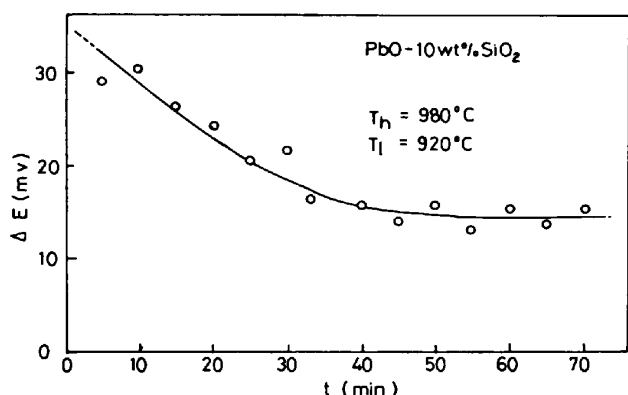


Fig. 5. Change of the measured EMF with time under fixed temperature difference.

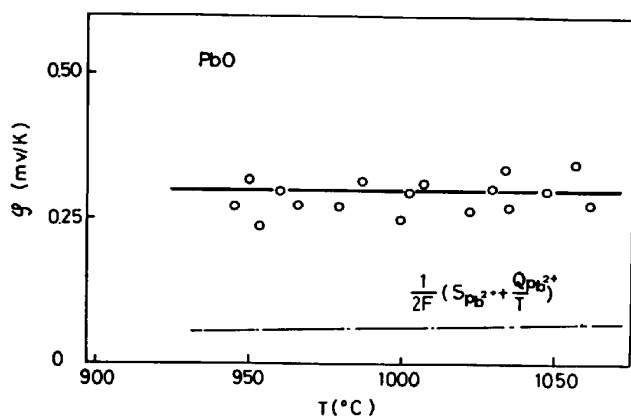


Fig. 6. Relation between thermoelectric power of  $\text{PbO}$  and temperature.

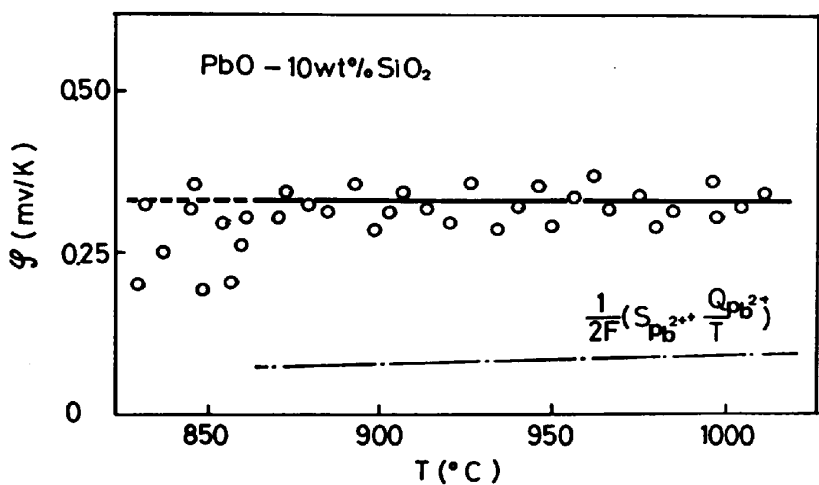


Fig. 7. Relation between thermoelectric power of  $\text{PbO-10 wt% SiO}_2$  and temperature.

ポートに入れたガラス状の試料が完全に溶解した後2本の電極を挿入して電位差を測定する。Fig. 5は、電極を挿入してから、測定される電位差が時間とともにどのように変化していくかを調べたものである。試料は $\text{PbO-10 wt% SiO}_2$ で電極の深さは約1mmである。この図に見られるように白金電極が挿入されると時間とともに起電力は減少して行き、約40minでほぼ一定値となる。このような一定値を示した時、ポテンシオメーターを用いて測定し、その温度における熱起電力の値とした。また電極深さが1~8mmの範囲では、測定される起電力は影響されることを確めたので、本研究では電極深さが3~5mmになるようにして測定した。測定は昇温、降温の両方の過程で行つたが、両方の値は良く一致している。

Fig. 6~8はこのようにして測定された、 $\text{PbO}$ 、 $\text{PbO}-10\text{ wt\%}(29\text{ mol\%})\text{SiO}_2$ 、 $25\text{ wt\%}(55\text{ mol\%})\text{SiO}_2$ の熱起電力の値を実線で示した。900°C以下では測定値のばらつきが大きいが、それ以上の温度ではほぼ一定値を示す。また900°C以上の温度では、全熱電能は温度に依存せずほぼ一定値を示し、 $\text{SiO}_2$ の濃度にわずかに依存する。すなわち純粋な $\text{PbO}$ では、 $0.30\text{ mV/K}$ 、 $10\text{ wt\%}\text{SiO}_2$ では $0.33\text{ mV/K}$ 、 $25\text{ wt\%}\text{SiO}_2$ では $0.35\text{ mV/K}$ であり、 $\text{SiO}_2$ 濃度が増加するとともに全熱電能の値が少しずつ大きくなる。

## 50 考察

### 5・1 $\text{ZrO}_2$ 基固体電解質の絶対熱電能

(6)式に示したように測定された全熱電能は3つの項よりなる。第1項は気相中の酸素の部分モルエントルビであり、第2、第3項は $\text{ZrO}_2$ 基固体電解質、及び電極として用いた白金の絶対熱電能と呼ばれる項である。この第一項は、熱力学データ<sup>22)</sup>より計算可能である。その

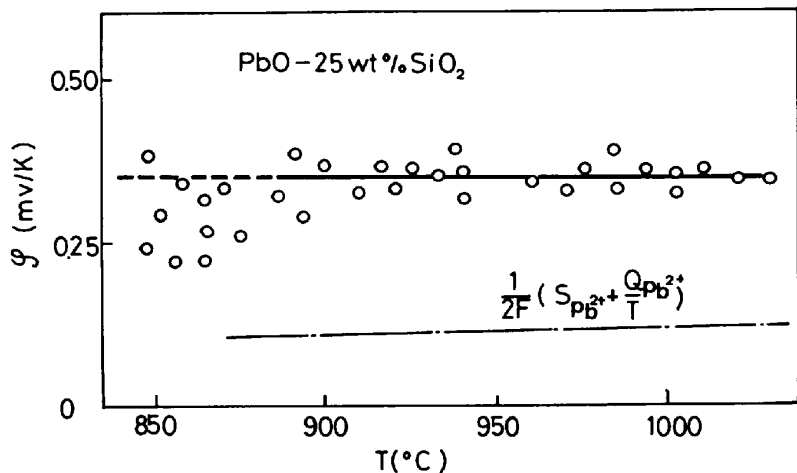


Fig. 8. Relation between thermoelectric power of PbO-25wt% SiO<sub>2</sub> and temperature.

値を Fig. 2~4 に二点鎖線で示した。また白金の絶対熱電能は CUSACK and KENDALL<sup>5)</sup> の測定により明らかにされている。例えば 1230°C で 0.025 μV/K である。従つて固体電解質自身の絶対熱電能  $\varphi_{\text{ZrO}_2}$  は(6)式より次のようにして求められる。

$$\begin{aligned} \varphi_{\text{ZrO}_2} &= \frac{1}{2F} \left( S_{\text{O}^{2-}} + \frac{Q_{\text{O}^{2-}}}{T} \right) \\ &= \frac{1}{2F} S_{\text{O}^{2-}}^{\text{vib}} = \varphi + \frac{1}{4F} S_{\text{O}_2} \quad \dots \dots \dots (11) \end{aligned}$$

この(11)式の  $S_{\text{O}^{2-}}^{\text{vib}}$  は transferred entropy<sup>19)</sup> と呼ばれる量であり、ZrO<sub>2</sub> 基固体電解質内で O<sup>2-</sup> イオン 1 mol の移動に伴つて運ばれるエントロピである。Fig. 2~4 にこの  $\varphi_{\text{ZrO}_2}$  の値を二点鎖線で示した。この値はいずれも温度が上昇するとともに少しずつ大きくなつていく。ZrO<sub>2</sub> 基固体電解質の絶対熱電能の大きさは、ZrO<sub>2</sub>-11 CaO では 0.15~0.33 mV/K, ZrO<sub>2</sub>-9 MgO で、0.15~0.24 mV/K, ZrO<sub>2</sub>-8 Y<sub>2</sub>O<sub>3</sub> では 0.11~0.15 mV/K である。(11)式からも明らかなように、この絶対熱電能は ZrO<sub>2</sub> 基固体電解質内の O<sup>2-</sup> イオンの部分モルエントロピと O<sup>2-</sup> イオンの輸送熱の 2 つの項よりなつている。しかし、前者は実測不可能の値であり、絶対熱電能の値から直ちに O<sup>2-</sup> イオン輸送熱の値を求めることはできない。ここで、(11)式を次のように書き直してみる。

$$\begin{aligned} \varphi_{\text{ZrO}_2} &= \frac{1}{2F} S_{\text{O}^{2-}}^{\text{vib}} = \frac{1}{2F} \\ &\left[ S_{\text{O}^{2-}}(\text{vib}) + S_{\text{O}^{2-}}(\text{conf}) + \frac{Q_{\text{O}^{2-}}}{T} \right] \quad \dots \dots \dots (12) \end{aligned}$$

すなわち、O<sup>2-</sup> イオンの部分モルエントロピを振動による項  $S_{\text{O}^{2-}}(\text{vib})$  と配置による項  $S_{\text{O}^{2-}}(\text{conf})$  の 2 つに分けてみる。Fig. 9 は、横軸に ZrO<sub>2</sub> に固溶した CaO 或いは Y<sub>2</sub>O<sub>3</sub> のモル分率、縦軸にその絶対熱電能をプロットしたものである。この固溶した CaO や Y<sub>2</sub>O<sub>3</sub> のモル分率は O<sup>2-</sup> イオン空孔の数に対応している。この図

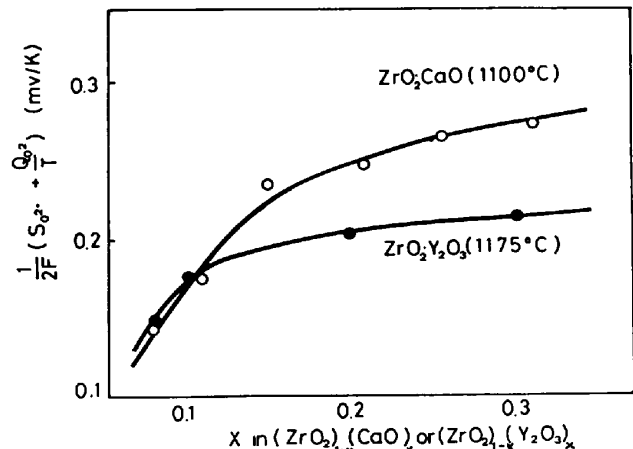


Fig. 9. Relation between  $\frac{1}{2F} \left( S_{\text{O}^{2-}} + \frac{Q_{\text{O}^{2-}}}{T} \right)$  of ZrO<sub>2</sub>-CaO,-Y<sub>2</sub>O<sub>3</sub> solid electrolytes and concentration of dopants.

から明らかのように、CaO や Y<sub>2</sub>O<sub>3</sub> の固溶量が少なくなると、ZrO<sub>2</sub> 基固体電解質の絶対熱電能の値は小さくなつていくことがわかつた。この実測結果は、FISCHER による推定結果とも良く一致している<sup>13)</sup>。また温度が高くなるとともに、 $\varphi_{\text{ZrO}_2}$  の値が大きくなつていくのは、 $S_{\text{O}^{2-}}(\text{vib})$  の増加によるものと思われるが、なぜ ZrO<sub>2</sub>-11 CaO では、1300°C を越えると急に  $\varphi_{\text{ZrO}_2}$  の値が増加するのかは明らかでない。

## 5.2 液体 PbO-SiO<sub>2</sub> の絶対熱電能

液体 PbO-SiO<sub>2</sub> の絶対熱電解能は(9)式より求められる。ただしこの場合 PbO-SiO<sub>2</sub> 中には濃度勾配は存在しないものと考えている。(9)式の右辺第 1 項、第 2 項は熱力学データより計算できる。PbO-SiO<sub>2</sub> 中の PbO の部分モルエントロピは次のように与えられる。

$$\begin{aligned} S_{\text{PbO}} &= - \left( \frac{\partial \mu_{\text{PbO}}}{\partial T} \right) = S_{\text{PbO}}^{\circ} - R \ln \alpha_{\text{PbO}} \\ &\quad - RT \left( \frac{\partial \ln \alpha_{\text{PbO}}}{\partial T} \right) \dots \dots \dots (12) \end{aligned}$$

ここで  $\alpha_{\text{PbO}}$  は  $\text{PbO-SiO}_2$  中の  $\text{PbO}$  の活量である。各温度における  $S^{\circ}_{\text{PbO}}$  は比熱<sup>23)</sup>より、 $\alpha_{\text{PbO}}$  は松下と後藤<sup>24)</sup>によつて測定された値を用いて、 $S_{\text{PbO}}$  を求めた。また(9)式右辺第4項は GUSACK と KENDALL<sup>5)</sup>の測定値より得られる。従つて(9)式の右辺第3項、いわゆる液体  $\text{PbO-SiO}_2$  の絶対熱電能が求められる。液体  $\text{PbO-SiO}_2$  の絶対熱電能の値は、900°C~1000°C の温度範囲で、0.06~0.13 mV/K の値であり、また  $\text{Pb}^{2+}$  イオンの transferred entropy の値は 2.3~4.6 Cal/mol deg である。そしてこれらの値は  $\text{SiO}_2$  濃度の増加とともに大きくなる。また温度の上昇とともにわずかに大きくなる。

このように熱電能の測定から得られるのは、いずれもイオンの部分モルエントロビと輸送熱の和である。イオンの部分モルエントロビは、実測不可能な値であり、従つて熱起電力の測定さから、直ちに輸送熱を決定することはできない。イオンの部分モルエントロビの推定方法は、例えれば PITZER<sup>25)</sup>により提案されている。もう一つ注目されることは、本実験に用いられたようなイオン伝導性の大きい物質では、測定される全熱起電力の大部分は界面反応によつて占められており、その物質固有の値である絶対熱電能は相対的に小さい。従つて、イオン電導性の大きい電解質の熱電能の測定の時には、界面反応が明らかにされており、その熱電能に及ぼす大きさを正確に把握することが必要である。

## 6. 結 言

$\text{ZrO}_2$  基固体電解質及び液体  $\text{PbO-SiO}_2$  の熱電能を大気中で白金電極を用いて測定し次のような結果を得た。

(1) 白金電極を用いて大気中で測定された  $\text{ZrO}_2$  基固体電解質の全熱電能は -0.37~-0.51 mV/K の範囲にあり、 $\text{ZrO}_2-11 \text{CaO}$ 、 $\text{ZrO}_2-9 \text{MgO}$  では温度の上昇とともに小さくなり、 $\text{ZrO}_2-8 \text{Y}_2\text{O}_3$  ではその温度依存性は認められない。また、固体電解質自身の絶対熱電能は、いずれも 0.1~0.2 mV/K の大きさであり、温度の上昇とともに大きくなる。

(2) 白金電極を用いて大気中で測定された液体  $\text{PbO-SiO}_2$  の全熱電能は 0.30~0.35 mV/K の範囲であり、 $\text{SiO}_2$  濃度が上昇するとともに大きくなる。また液体  $\text{PbO-SiO}_2$  の絶対熱電能の大きさは、0.06~0.013 mV/K であり、 $\text{SiO}_2$  の濃度が増加し、温度が上昇するとともに大きくなる。

(3)  $\text{ZrO}_2$  基固体電解質、液体  $\text{PbO-SiO}_2$  の熱電能の測定の際にはその界面反応の寄与が大きい。

なお本研究の費用の一部は石原・浅田研究助成金によ

るものでここに深甚の感謝の意を表する。

## 文 献

- 1) Y. UKYO and K. S. GOTO: Metall. Trans., 13B (1981), p. 449
- 2) H. SUGAWARA, K. NAGATA, and K. S. GOTO: Metall. Trans., 8B (1977), p. 605
- 3) 右京良雄、後藤和弘: 鉄と鋼, 68 (1982), p. 1971, 1981
- 4) K. S. GOTO, K. NAGATA, and Y. UKYO: Can. Met. Quart., 20 (1981), p. 117
- 5) N. CUSACK and P. KENDALL: Proc. Phys. Soc. (London), 72 (1958), p. 898
- 6) K. S. GOTO and W. PLUSHKELL: Physics of Electrolytes (1972) ed. by J. HALDIK [Academic Press]
- 7) H. ITO and T. YANAGASE: Trans. JIM, 1 (1960), p. 115
- 8) H. HOLTAN Jr., P. MAZUR, and S. R. de GROOT: Physica, 19 (1953), p. 1109
- 9) S. R. de GROOT: Thermodynamics of Irreversible Processes (1951) [North Holland Publishing Company]
- 10) R. HASSE: Thermodynamics of Irreversible Processes (1969) [Addison-Wesley Publishing Company]
- 11) A. KATCHALSKY and P. F. CURRAN: Nonequilibrium Thermodynamics in Biophysics (1965) [Harvard University Press.]
- 12) K. S. GOTO, T. ITO, and M. SOMENO: Trans. Metall. Soc. AIME, 245 (1969), p. 1662
- 13) W. FISCHER: Z. Naturforsch., A22 (1967), p. 1575
- 14) R. J. RUKA, J. E. BAUERLE, and L. DYKSTRA: J. Electrochem. Soc., 115 (1968), p. 479
- 15) G. STEIN, A. LECANTE, M. GUILLOU, and J. C. R. MILLET: Acad. Sci. Paris, 267 (1968), p. 1660
- 16) V. N. CHEBOTIN, S. L. FRIDMAN, and S. F. PAL'QUEV: Soviet Electrochem., 6 (1970), p. 1257
- 17) S. PIZZINI, C. RICCARDI, V. WAGNER, and C. SINISTRY: Z. Naturforsch., A25 (1970), p. 559
- 18) S. L. FRIDMAN, S. F. PAL'QUEV, and V. N. CHEBOTIN: Soviet Electrochem., 5 (1959), p. 323
- 19) Z. S. VOLCHENKOVA, S. F. PAL'QUEV, S. L. FRIDMAN, and N. F. SIZIZTSEVA: Soviet. Electrochem., 9 (1973), p. 331
- 20) W. A. FISCHER and C. PIEPER: Arch. Eisenhuttenwes., 44 (1973), p. 251
- 21) C. B. ALCOCK, K. FITZNER, and K. T. JACOB: J. Chem. Thermodynamics., 9 (1977), p. 1011
- 22) J. F. ELLIOT, M. GLEISER, and V. RAMAKRISHMA: Thermo-chemistry for Iron and Steelmaking (1963) [Addison-Wesley Publishing Company Inc.]
- 23) O. KUBASCHEWSKI and C. B. ALCOCK: Metallurgical Thermochemistry (1979) [Pergamon Press]
- 24) Y. MATUSHITA and K. S. GOTO: Tetsu-to-Hagane OverSeas., 4 (1964), p. 128
- 25) K. S. PITZER: J. Phys. Chem., 65 (1961), p. 147